

9. Calhoun T. R., Thumwood R. G., Tennyson K. B. et al. Coarctation of abdominal aorta // Tex. Heart Inst. J.—1983.—10, N 3.—P. 269—273.
10. Henry R. L., Nalbandian R. M., Dzandu J. K. Piracetam effects on erythrocyte membrane protein phosphorylation in fresh and metabolically stressed sickle cells as related to deformability-reformability characteristics // 2nd Int. symp. on nootropic drugs.—Mexico: Acad. Mexic. de Neurol.—1981.—P. 176—181.
11. Longo T., Marchetti G., Vercellio G. Coronary hemodynamics changes induced by aortic cross-clamping // J. Card. Surg.—1969.—10.—P. 36—42.
12. Meloche R., Pottcher T., Audet J. et al. Haemodynamics changes due to clamping of the abdominal aorta // Can. Ann. Soc. J.—1977.—24.—P. 20—32.
13. Moreno N. N., Teruel de Campo, Kaiser G. A., Pallares V. S. Technical and pharmacologic management of distal hypotension during repair of coarctation of the aorta // J. Thorac. Cardiovasc. Surg.—1980.—80.—P. 182—186.
14. Sharov V. G., Afonskaya N. I., Ruda M. Y. et al. Protection of ischemic myocardium by exogenous phosphocreatine (Neoton): Pharmacokinetic of phosphocreatine, reduction of infarct size, stabilization of sarcolemma of ischemic cardiomyocytes, and antithrombotic action // Biochem. Med. and Metabol. Biol.—1986.—35.—P. 101—114.
15. Woelk H. Basic research and clinical implications of piracetam // 2nd Int. symp. on nootropic drugs.—Mexico: Acad. Mexic de Neurol.—1981.—P. 46—52.

Самарканд. мед. ин-т
М-ва здравоохранения УзССР

УДК 612.18.181×13.143

Поступила 25.12.86

Исследование кардио-гемодинамических реакций при воздействии глицином на нейроны вентролатеральной области продолговатого мозга кошки

А. Г. Карцева, С. Б. Верескун, А. В. Дмитриева

Представления о важной роли нервных структур, расположенных в строго ограниченных участках вентролатеральной области продолговатого мозга (ВЛПМ), в регуляции сосудистого тонуса, начало которым положено работами Фельдберга и Герценштейна [9, 11, 12], до настоящего времени продолжают подвергаться экспериментальной проверке и дальнейшему изучению [7, 8, 14, 16, 18 и др.]. Более подробно изучена функциональная роль нейронов зоны «S» (промежуточной или «глицинчувствительной» зоны ВЛПМ в терминологии других авторов), которым приписывают симпатоактивирующую влияние на нейрогенный сосудистый тонус [1, 3, 8, 15 и др.]. Между тем существенное значение в регуляции кардио- и гемодинамики могут играть и группы нейронов, расположенные в других зонах ВЛПМ, например в зоне «L», а также на некоторой глубине от поверхности мозга [10, 14]. Цель настоящей работы — изучение влияния торможения глицином нейронов отдельных участков ВЛПМ на состояние кардио- и гемодинамики у кошки.

Методика

В острых опытах на кошках, наркотизированных внутрибрюшинно смесью хлоралозы (50 мг/кг) с уретаном (500 мг/кг), при искусственном дыхании обнажали вентральную поверхность продолговатого мозга, для чего удаляли краиальный отрезок трахеи и пищевода, глубокие мышцы шеи. С помощью бормашины вскрывали окно в затылочной кости основания черепа. Непосредственно перед началом опыта вскрывали твердую мозговую оболочку так, чтобы были видны нижний край трапециевидного тела и корешки XII пары черепно-мозговых нервов. Катетеризировали бедренные артерию и вену, вскрывали грудную клетку по четвертому межреберью слева с резекцией пятого ребра, через ушко предсердия катетеризировали полость левого желудочка, на луковицу аорты накладывали электромагнитный датчик расходомера. С по-

мощью полиграфа типа синхронно регистрировали давление в левом желудке и первую производную, а также ударный объем два показателя регистрирующее периферическое сопротивление давление (АД [4]), показатель времени (T_{n}) [5].

Специально изготовленные вещества (от 5 нл и более до 30 нл 10%-ного раствора с помощью такого После окончания опыта влекали и проводили гиличественные характеристики глицина анализировались

Результаты

Одностороннее введение зоны «L» ВЛПМ приводит к кардио-гемодинамическим изменениям одного из серий АДС начинает повышаться, увеличиваясь на уровень 4. давление изменяется 0,05 Н·с·см⁻¹ и Мсса обусловлено увеличением сердца на 36 минут ИВ и ИР достигает после введения глицина возвращаются к исходным кардио-гемодинамическим концу 4—6-й минут.

Такая направлена для всех опытов изменений средних и АДср. Как видно, наблюдается статистического давления (АДср) к концу 4-й минуты возвращается к исходному с увеличением УОД, нее выражено (см. всех опытах данное соотношение сократительной и расслабительной при этом несомненно обратить внимание на различия в других показателе, в том числе и в ходным. Таким образом можно считать, что связанных с изменениями связана с изменением связана с изменениями

Односторонняя область зоны «S» гемодинамической реакции проявляется в виде

on K. B. et al. Coarctation of abdominal 3.—P. 269—273.

J. K. Piracetam effects on erythrocyte membrane stressed sickle cells as characteristics // 2nd Int. symp. on nootropic 1981.—P. 176—181.

coronary hemodynamics changes induced by 1969.—P. 36—42.

Haemodynamics changes due to clamping of 1977.—P. 20—32.

G. A. Pallares V. S. Technical and phar- 1970—P. 182—186.

., et al. Protection of ischemic myocardium. Pharmacokinetic of phosphocreatine, re- 1986.—35.—P. 101—114.

lications of piracetam // 2nd Int. symp. on Neurol.—1981.—P. 46—52.

Поступила 25.12.86

мических реакций

нейрона долговатого

риева

ных структур, расположенных в латеральной области продолговатого тонуса, начало которым срещется [9, 11, 12], до настрагаться экспериментальной про- 14, 16, 18 и др.]. Более подробно зоны «S» (промежуточной ПМ в терминологии других авторов) активирующее влияние на нее [15 и др.]. Между тем существенные гемодинамики могут играть и в других зонах ВЛПМ, например в не от поверхности мозга [10, 14]. Влияния торможения глицином на состояние кардио- и гемоди-

ных внутрибрюшинно смесью хлоралозы вственном дыхании обнажали вентрального удалены краинальный отрезок трахею бормашину, вывернули окно в ственно перед началом опыта вскрывали видны нижний край трапециевидного яров. Катетеризировали бедренные артерии кверху межреберью слева с резекции, катетеризировали полость левого желудочного магнитный датчик расходомера. С по-

мощью полиграфа типа «Минграф-82» (фирма «Elema-Siemens», Швеция — ФРГ) синхронно регистрировали следующие показатели кардио- и гемодинамики: артериальное давление систолическое (АДС) и артериальное давление диастолическое (АДД), давление в левом желудочке (ДЛЖ), его конечно-диастолическую компоненту (КДД) и первую производную, фонокардиограмму (ФКГ) и электрокардиограмму (ЭКГ), а также ударный объем крови (УОК) и минутный объем крови (МОК). Последние два показателя регистрировали с помощью расходомера РКЭ-2-БИ. Рассчитывали общее периферическое сопротивление сосудов току крови (ОПС), среднединамическое артериальное давление (АДср), индекс Верагута (ИВ) [17], индекс расслабления (ИР) [4], показатель времени до достижения максимума подъема давления в желудочке (T_{\max}) [5].

Специально изготовленным микроинъектором, позволяющим вводить малые дозы веществ (от 5 нл и более), в области расположения хемосенситивных зон ВЛПМ вводили 30 нл 10 %-ного раствора глицина (рН 7,4). Область введения глицина маркировали с помощью такого же объема 30 %-ного водного раствора флюиона желтого. После окончания опыта мозг перфузировали 40 %-ным раствором формальдегида, извлекали и проводили гистологический контроль локализации введенного глицина. Количественные характеристики параметров кардио- и гемодинамики до и после введения глицина анализировали с помощью методов вариационной статистики.

Результаты

Одностороннее введение 30 нл 10 %-ного раствора глицина в область зоны «L» ВЛПМ приводит к развитию короткоталентной выраженной кардио-гемодинамической реакции. На рис. 1, А приведены результаты одного из серии опытов. Через 4 с после введения глицина уровень АДС начинает повышаться и к концу первой минуты достигает максимума, увеличиваясь примерно на 70 мм рт. ст. Значительно повышается и уровень АДД — на 60 мм рт. ст., таким образом, пульсовое давление изменяется мало. При этом увеличиваются также ОПС — на $0,05 \text{ Н}\cdot\text{с}\cdot\text{см}^{-1}$ и МОК — на 200 мл/мин. Увеличение сердечного выброса обусловлено увеличением УОК на 0,9 мл и учащением сокращений сердца на 36 мин^{-1} . Максимум увеличения ДЛЖ, dp/dt_{\max} , а также ИВ и ИР достигается к концу 2—4-й минуты. Начиная со 2-й минуты после введения глицина, значения АДС, МОК, УОК и ЧСС постепенно возвращаются к исходному значению, однако полного восстановления кардио-гемодинамических сдвигов не наблюдается, как правило, и к концу 4—6-й минуты.

Такая направленность сдвигов кардио- и гемодинамики характерна для всех опытов данной серии. На рис. 2, А, а, показана динамика изменений средних значений, характеризующих уровень АДС, АДД и АДср. Как видно из рисунка, к концу первой минуты после введения наблюдается статистически достоверный прирост уровня артериального давления (АДС на 53 %, АДД на 37 %, АДср на 47 %, $P < 0,05$), к концу 4-й минуты превышение АДС составляет всего 8 %, а АДД возвращается к норме. Увеличение МОК в большей степени связано с увеличением УОК (на 14 %, $P < 0,05$), так как ЧСС изменяется менее выражено (см. рис. 2, А, б). Увеличение УОК, наблюдающееся во всех опытах данной серии, может быть обусловлено некоторым снижением сократительной активности миокарда (см. рис. 2, А, в), поскольку при этом несколько увеличивается ИВ (на 8 %). Однако следует обратить внимание на то, что, как видно из рисунка, максимум изменений ИВ наблюдается лишь к концу 4-й минуты, когда значения других показателей гемодинамики уже начинают возвращаться к исходным. Таким образом, исходя из анализа всех опытов данной серии, можно считать, что развитие кардио-гемодинамических реакций, обусловленных введением глицина в область зоны «L» ВЛПМ в основном связано с изменением нейрогенного сосудистого тонуса.

Односторонняя микроинъекция такого же количества глицина в область зоны «S» ВЛПМ приводит к развитию кардио-гемодинамической реакции противоположного знака: уровень АДС снижается, пре-

имущественно за счет уменьшения ОПС; УОК и МОК кратковременно увеличиваются, ЧСС изменяется мало, обнаруживая тенденцию к брадикардии.

Из рис. 1, Б видно, что через 15 с после введения глицина наблюдается снижение уровня АДС, минимальный уровень которого от-

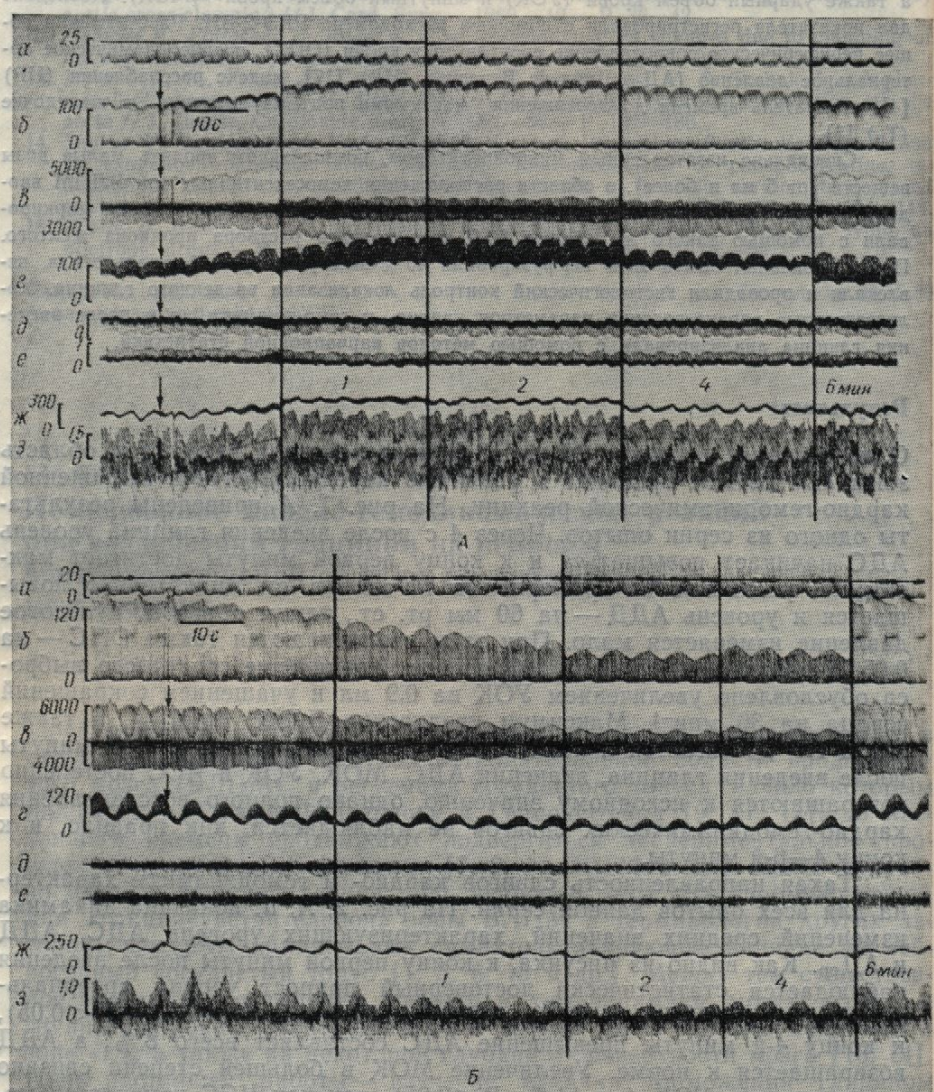


Рис. 1. Характер кардио-гемодинамических реакций, развивающихся при введении 30 мл глицина (10 %-ный водный раствор, pH 7,4) в область хемосенитивных зон «L» (A) и «S» (B) ВЛПМ:

A: а — конечно-диастолическое давление, мм рт. ст.; б — давление в левом желудочке, мм рт. ст.; в — dp/dt , мм рт. ст./с; г — систолическое артериальное давление, мм рт. ст.; д — ЭКГ aVL , мВ; е — ЭКГ aVF , мВ; ж — минутный объем крови, мл/мин; з — ударный объем крови, мл. Б: а—г и ж, з то же, что на А; д — ФКГ, 100 Гц; е — ФКГ, 200 Гц.

мечается к началу 2-й минуты после введения медиатора (снижение на 70 мм рт. ст.), АДД снижается на 40 мм рт. ст., ОПС уменьшается от 0,31 до 0,14 Н·с·см⁻¹, УОК и МОК кратковременно увеличиваются, а затем наблюдается их уменьшение. Наиболее выраженное уменьшение dp/dt_{max} (от 5 902 до 2 115 мм рт. ст.⁻¹) и dp/dt_{min} (от 4 097 до 1 930 мм рт. ст.⁻¹) развивается несколько позднее максимального

снижения уровня АДС. Ма. ИВ и ИР.

Анализ результатов все равленность изменений кардио-10 %-ного водного раствора однозначной. Из рис. 2, Б, с введения глицина наблюдается АДС (на 18 %, Р < 0,05), АДД. Снижение уровня АДС в о

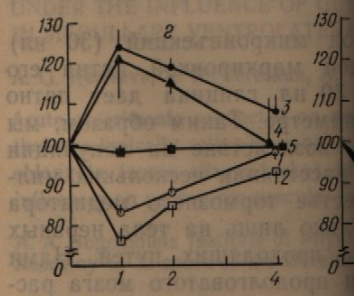
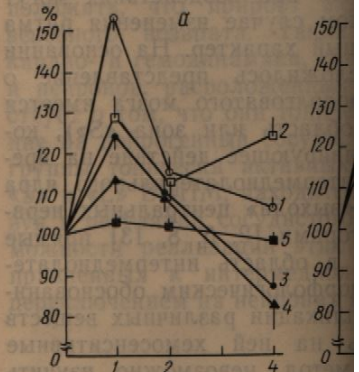


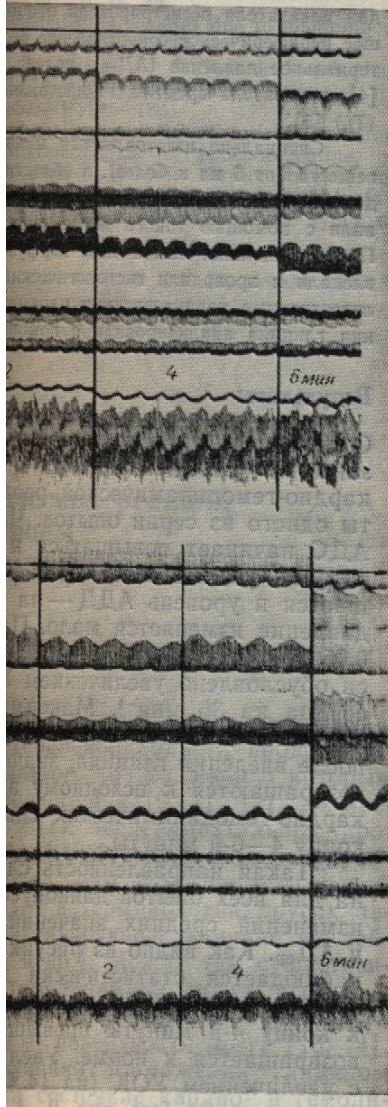
Рис. 2. Изменения средних значений, обусловленные торможением нервов:
а, г — изменения параметров кардио-2; б — общее периферическое сопротивление; в — частота сердечных сокращений; б (1 — систолическое артериальное давление, 2 — динамическое артериальное давление), карда (1 — индекс Верагута, 2 — индекс мума повышения давления в желудочке).

(на 24 %, Р < 0,05), так как увеличивается. Увеличивает обнаруживая тенденцию к сердечного выброса на фоне может быть отчасти следствие затели сократительной акции (см. рис. 2, Б, в).

Обсуждение результатов

Описанная Фельдбергом и вительная область, расположенная каудальнее трапециевидной мышцы не превышает 1,5 см, ограниченному участку мозга депрессорной реакции. Дву-

; УОК и МОК кратковременно обнаруживая тенденцию к брадикардии, а также снижение АДС и ИВ, наблюдается в течение 4–6 мин после введения глицина, максимальный уровень которого отмечается в 1–2 мин.



ций, развивающихся при введении в область хемосенситивных зон «L»

давление в левом желудочке, мм рт. ст.; \dot{V} — минутный объем крови, л/мин; a — g , e — то же,

иения медиатора (снижение на 10–15 %), ОПС уменьшается от кратковременно увеличивающегося, а более выраженное уменьшение (c^{-1}) и dP/dt_{min} (от 4097 до 3097) только позднее максимального

снижения уровня АДС. Мало выражены также начальные изменения ИВ и ИР.

Анализ результатов всех опытов данной серии показал, что направленность изменений кардио- и гемодинамики при введении 30 нл 10 %-ного водного раствора глицина в область зоны «S» ВЛПМ была однозначной. Из рис. 2, Б, а видно, что к концу первой минуты после введения глицина наблюдается максимально выраженное снижение АДС (на 18 %, $P < 0,05$), АДД (на 15 %, $P < 0,05$) и АДср (на 16 %). Снижение уровня АДС в основном обусловлено уменьшением ОПС

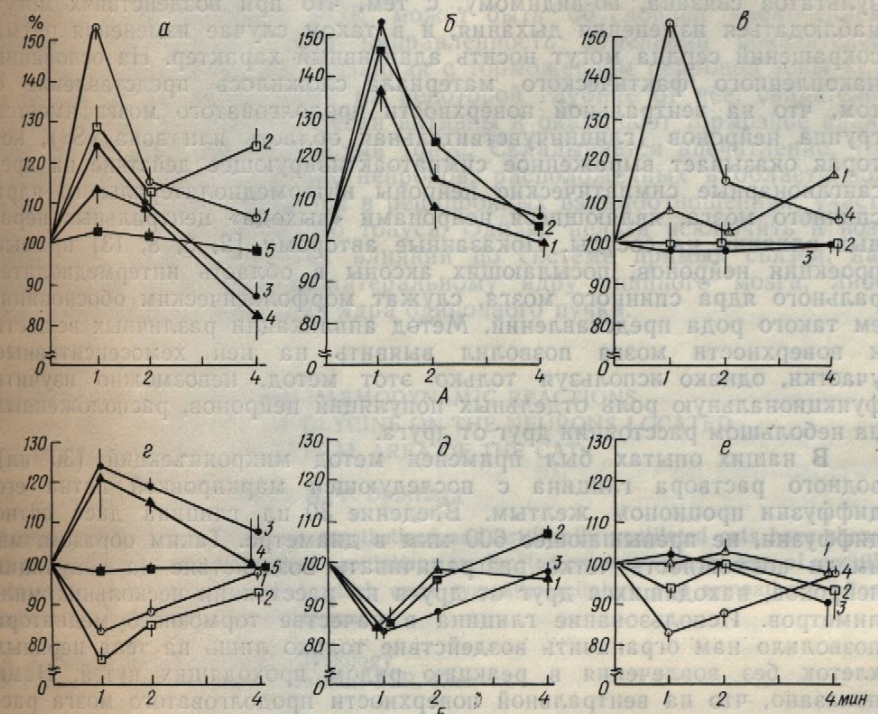


Рис. 2. Изменения средних значений (%) основных показателей кардио- и гемодинамики, обусловленные торможением нейронов зон «L» (A) и «S» (Б) ВЛПМ:

а, г — изменения параметров кардио- и гемодинамики (1 — систолическое артериальное давление, 2 — общее периферическое сопротивление, 3 — минутный объем крови, 4 — ударный объем крови, 5 — частота сердечных сокращений); б, д — динамика изменений значений артериального давления (1 — систолическое артериальное давление, 2 — диастолическое артериальное давление, 3 — среднединамическое артериальное давление); е, е — изменения индексов сократительной активности миокарда (1 — индекс Верагута, 2 — индекс расслабления, 3 — показатель времени достижения максимума повышения давления в желудочке, 4 — систолическое артериальное давление).

(на 24 %, $P < 0,05$), так как МОК при этом статистически достоверно увеличивается. Увеличивается также УОК, а ЧСС изменяется мало, обнаруживая тенденцию к брадикардии (см. рис. 2, Б, б). Увеличение сердечного выброса на фоне выраженного снижения уровня АДС может быть отчасти следствием уменьшения постнагрузки, так как показатели сократительной активности при этом изменяются незначительно (см. рис. 2, Б, в).

Обсуждение результатов

Описанная Фельдбергом и Герценштейном в 1972 г. [9] глицинчувствительная область, расположенная на поверхности продолговатого мозга каудальнее трапециевидного тела и латеральнее пирамид, у кошки не превышает $1,5 \text{ mm}^2$. Аппликация глицина к этому строго ограниченному участку мозговой поверхности приводит к развитию депрессорной реакции. Двустороннее же его воздействие сопровождается

ется снижением АДС до спинального уровня. Введение глицина за пределы данной области не сопровождается развитием гемодинамических реакций.

Активация мозговых структур, находящихся в пределах зоны, приводит к повышению нейрогенного сосудистого тонуса, в то время как их торможение сопровождается выраженным снижением тонуса сосудов. Об этом свидетельствуют данные, полученные многими авторами. Единого мнения о влиянии нейронов зоны «S» на деятельность сердца до настоящего времени нет. Неоднозначность полученных результатов связана, по-видимому, с тем, что при воздействиях могут наблюдаться изменения дыхания, и в таком случае изменения ритма сокращений сердца могут носить адаптивный характер. На основании накопленного фактического материала сложилось представление о том, что на центральной поверхности продолговатого мозга имеется группа нейронов (глицинергическая область или зона «S»), которая оказывает выраженное симпатоактивирующее действие на пре-гангилонарные симпатические нейроны интермедиолатерального ядра спинного мозга, являющиеся нейронами «выхода» центральных нервных влияний на сосуды. Показанные авторами [2, 6, 8, 13] прямые проекции нейронов, посылающих аксоны в область интермедиолатерального ядра спинного мозга, служат морфологическим обоснованием такого рода представлений. Метод аппликации различных веществ к поверхности мозга позволил выявить на ней хемосенситивные участки, однако используя только этот метод, невозможно изучить функциональную роль отдельных популяций нейронов, расположенных на небольшом расстоянии друг от друга.

В наших опытах был применен метод микропункций (30 нл) водного раствора глицина с последующей маркировкой пятна его диффузии проционом желтым. Введение 30 нл глицина дает пятно диффузии, не превышающее 600 мкм в диаметре. Таким образом, мы имели возможность четко разграничивать воздействие на популяции нейронов, находящихся друг от друга на расстоянии нескольких миллиметров. Использование глицина в качестве тормозного медиатора позволило нам ограничить воздействие только лишь на тела нервных клеток без вовлечения в реакцию рядом проходящих путей. Нами показано, что на центральной поверхности продолговатого мозга расположены две глициновые зоны, функциональное значение которых неоднозначно. Микропункция глицина в область зоны «S» приводит к развитию депрессорной реакции, обусловленной уменьшением ОПС, поскольку УОК и МОК при этом несколько увеличиваются, а изменения ЧСС статистически недостоверны, хотя в отдельных опытах отмечалось урежение ритма сокращений сердца. Максимум развития кардио-гемодинамических сдвигов наблюдается к концу первой минуты, после чего происходит постепенное возвращение их к исходному уровню. Индексы сократительной активности миокарда (ИВ, ИР, Т_п) к концу первой минуты после введения глицина изменяются мало, а несколько более выраженное их изменение к концу 4-й минуты, когда значения АДС и МОК приближаются к норме, может отражать влияние уменьшения постнагрузки.

Описанная направленность кардио-гемодинамических сдвигов не зависит от глубины введения вещества (до 1500 мкм) в пределах исследуемой зоны. Исходя из того, что глицин оказывает тормозное действие на клеточные тела нейронов, не влияя при этом на проводящие пути, можно считать, что вышеописанная депрессорная реакция обусловлена торможением тонически активных нейронов, оказывающих симптоактивирующе влияния на нейрогенный сосудистый тонус. По-видимому, важное значение в реализации такого рода влияний, помимо нейронов, расположенных близко к поверхности и, возможно, являющихся рецепторными, имеют также группы нейронов, находящиеся на некоторой глубине от нее. Согласно данным Benarroch и соавт. [7], это могут быть адренергические нейроны группы С₁.

Микроинъекция так «L» сопровождается разриферическим кардио-геся увеличение ОПС и словлено преимущественся менее выражено. Н показатели (ИВ, ИР, ность сердца. Увеличениий показателей сократ положить, что прирост венозного возврата. Та кардио- и гемодинамики и нейронов, расположены на том, что они то ние на нейрогенный сос группы тонически акти «S» и «L» ВЛПМ, находя в регуляции сосудисты возможности реализации правленных к интермей переключением на нейро

INVESTIGATION OF CARDIAC UNDER THE INFLUENCE OF IN MEDULLARY VENTROLA

A. G. Kartseva, S. B. Veresku
Acute experiments conducted
that two tonically active neuro-
oblongata (zones «S» and «L»)
influences on neurogenic vasct

A. A. Bogomoletz Institute of
Academy of Sciences of the U

1. Каде А. Изменения рефлуксом охлаждении вентрикуляции деятельности сердца. С. 51—67.
 2. Карцева А. Г., Васильевская. Особенности продолжительного мозгового ферических механизмы венце на. Ереван: Изд-во АН АрмССР, 1985.
 3. Кульчицкий В. А., Поленов. Стволовых структур на 1985.—71, № 5.— С. 569—574.
 4. Мирсон Ф. З., Капелько. Пограничной функции и скопления к большой нагрузке // Ученые записки БГУ. 1985. № 5.— С. 569—574.
 5. Мойбенко А. А., Орлова. 1978.—24, № 6.— С. 839—846.
 6. Amendt K., Czachurski Y. IML cell column; a neuron. P. 103—117.
 7. Benarroch E. E., Granata. Cardiovascular responses to hypotension. 1986.—19, N 5.— P. 103—117.
 8. Dampney R. A. L., Goodchild. Lateral medulla in vasomotor study // Brain Res.—1982. N 210.—P. 103—117.
 9. Feldberg W., Guertzenstein. Physiol.—1972.—224, N 1.
 10. Feldberg W., Guertzenstein. ventral surface of the brain. 1956.

о уровня. Введение глицина за-
ждается развитием гемодинами-
ки находящихся в пределах зоны,
сосудистого тонуса, в то время
выраженным снижением тонуса
некоторые, полученные многими авто-
роми зоны «S» на деятельность.
Неоднозначность полученных ре-
зультатов, что при воздействиях могут
таком случае изменения ритма
активный характер. На основании
этого сложилось представление о
продолговатого мозга имеется
область или зона «S», ко-
активирующее действие на пре-
дынтермедиолатерального ядра
«выхода» центральных нерв-
авторами [2, 6, 8, 13] прямые
ны в область интермедиолате-
ральной морфологическим обоснованием
аппликации различных веществ
вить на ней хемосенситивные
от метода, невозможно изучить
ляций нейронов, расположенных

метод микроинъекций (30 нл)
ющей маркировкой пятна его
ние 30 нл глицина дает пятно
в диаметре. Таким образом, мы
вать воздействие на популяции
на расстоянии нескольких милли-
метров тормозного медиатора
только лишь на тела нервных
ядом проходящих путей. Нами
ости продолговатого мозга рас-
познаны, функциональное значение
глицина в область зоны «S»
акции, обусловленной уменьше-
нием этого несколько увеличиваются
достоверны, хотя в отдельных
сокращений сердца. Максимум
двигов наблюдается к концу
постепенное возвращение их к
тельной активности миокарда
после введения глицина изменя-
яние их изменение к концу 4-й
приближаются к норме, может
узы.

-гемодинамических сдвигов не
за (до 1500 мкм) в пределах
глицина оказывает тормозное
не влияя при этом на проводя-
щая депрессорная реакция
активных нейронов, оказываю-
нейрогенный сосудистый тонус.
изации такого рода влияний, со-
ко к поверхности и, возможно,
же группы нейронов, находя-
Согласно данным Benagroch и
кие нейроны группы C₁.

Микроинъекция такого же количества глицина в область зоны «L» сопровождается развитием выраженной прессорной реакции, периферическим кардио-гемодинамическим механизмом которой является увеличение ОПС и МОК. В свою очередь увеличение МОК обусловлено преимущественно приростом УОК, поскольку ЧСС изменяется менее выражено. Не столь значительно изменяются и другие показатели (ИВ, ИР, Т_п), характеризующие сократительную активность сердца. Увеличение УОК на фоне малой выраженности изменений показателей сократительной активности миокарда позволяет предположить, что прирост УОК может быть обусловлен увеличением венозного возврата. Такая направленность изменений показателей кардио- и гемодинамики, связанная с торможением нейронов зоны «L» и нейронов, расположенных на некоторой глубине от нее, свидетельствует о том, что они тонически активны и оказывают тормозное влияние на нейрогенный сосудистый тонус. Складывается впечатление, что группы тонически активных нейронов, расположенных в области зон «S» и «L» ВЛПМ, находятся в реципрокных взаимоотношениях, участвуя в регуляции сосудистого тонуса. Однако нельзя исключить и возможности реализации этих влияний по системе прямых связей, направленных к интермедиолатеральному ядру спинного мозга, либо переключением на нейронах ядра одиночного пучка.

INVESTIGATION OF CARDIO-HAEMODYNAMIC REACTIONS UNDER THE INFLUENCE OF GLYCINE ON THE NEURONS LOCATED IN MEDULLARY VENTROLATERAL AREA OF THE CAT

A. G. Kartseva, S. B. Vereskun, A. V. Dmitrieva

Acute experiments conducted on anesthetized and artificially ventilated cats have shown that two tonically active neuronal populations are located on ventrolateral area of medulla oblongata (zones «S» and «L») which exert sympathoexcitatory and sympathoinhibitory influences on neurogenic vascular tone.

- A. A. Bogomoletz Institute of Physiology
Academy of Sciences of the Ukrainian SSR, Kiev
1. Каде А. Изменения рефлекторных реакций системы кровообращения при локальном охлаждении вентральной поверхности продолговатого мозга // Нервная регуляция деятельности сердца / Под ред. В. М. Покровского. — Краснодар, 1981. — С. 51—67.
 2. Карцева А. Г., Васильева Н. З. Исследование роли структур вентральной поверхности продолговатого мозга в регуляции кровообращения // Центральные и периферические механизмы вегетативной нервной системы / Под ред. О. Г. Баклаваджяна. — Ереван: Изд-во АН АрмССР, 1985. — С. 104—107.
 3. Кульчицкий В. А., Поленов С. А., Чернявская Г. В. Влияние медуллярных хемочувствительных структур на нейрогенный тонус сосудов // Физiol. журн. СССР. — 1985. — № 5. — С. 569—574.
 4. Meerzon Ф. З., Капелько В. И. Роль взаимосвязей между интенсивностью сократительной функции и скоростью расслабления сердечной мышцы в адаптации сердца к большой нагрузке // Кардиология. — 1974. — № 7. — С. 43—53.
 5. Майденко А. А., Орлова Н. Н. Индексы сократимости миокарда // Физiol. журн. — 1978. — № 6. — С. 839—848.
 6. Amendt K., Czachurski Y., Dembowsky K., Seller H. Bulbospinal projections to the IML cell column: a neuroanatomical study // J. Auton. Nerv. Syst. — 1979. — N 1. — P. 103—117.
 7. Benarroch E. E., Granata A. R., Ruggiero D. A. et al. Neurons of C₁ area mediate cardiovascular responses initiated from ventral medullary surface // Amer. J. Physiol. — 1986. — N 5. — P. R932—R945.
 8. Dampney R. A. L., Goodchild A. K., Robertson L. C., Montgomery W. Role of ventrolateral medulla in vasomotor regulation: a correlative anatomical and physiological study // Brain Res. — 1982. — 249, N 1. — P. 223—235.
 9. Feldberg W., Guertzenstein P. G. Vasodepressor effect of pentobarbital sodium // J. Physiol. — 1972. — 224, N 1. — P. 83—103.
 10. Feldberg W., Guertzenstein P. G. Blood pressure effects of leptazol applied to the ventral surface of the brain stem of cats // J. Physiol. — 1986. — 372, N 3. — P. 445—456.